

การสังเคราะห์ตัวเร่งปฏิกิริยาอัมซีเอ็ม-41 ที่มีทั้งสเตนและแอกทิวิตีสำหรับเมตาทีชิลโซโลฟิน



นางสาว ปิยะสุดา สว่างคำ

คุณย์วิทยทรัพยากร
จุฬาลงกรณ์มหาวิทยาลัย
วิทยานิพนธ์นี้เป็นส่วนหนึ่งของการศึกษาตามหลักสูตรปริญญาวิทยาศาสตร์บัณฑิต
สาขาวิชาปีโตรเคมีและวิทยาศาสตร์พลิมอร์
คณะวิทยาศาสตร์ จุฬาลงกรณ์มหาวิทยาลัย
ปีการศึกษา 2545

ISBN 974-17-1910-8

ลิขสิทธิ์ของจุฬาลงกรณ์มหาวิทยาลัย

T2101355X

**SYNTHESIS OF TUNGSTEN-CONTAINING MCM-41
CATALYSTS AND THEIR ACTIVITY FOR OLEFIN METATHESIS**

Miss Piyasuda Sawangkam

**A Thesis Submitted in Partial Fulfillment of the Requirements
for the Degree of Master of Science in Petrochemistry and Polymer Science
Program of Petrochemistry and Polymer Science**

**Faculty of Science
Chulalongkorn University**

Acedemic Year 2002

ISBN 974-17-1910-8

Thesis Title

**SYNTHESIS OF TUNGSTEN-CONTAINING MCM-41
CATALYSTS AND THEIR ACTIVITY FOR OLEFIN
METATHESIS**

By

Miss Piyasuda Sawangkam

Field of Study

Petrochemistry and Polymer Science

Thesis Advisor

Aticha Chaisuwan, Ph.D.



Accepted by the Faculty of Science, Chulalongkorn University in Partial
Fulfillment of the Requirements for the Master's Degree

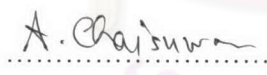
 Dean of Faculty of Science

(Associate Professor Wanchai Phothiphichitr, Ph.D.)

Thesis Committee

 Chairman

(Associate Professor Supawan Tantayanon, Ph.D.)

 Thesis Advisor

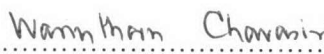
(Aticha Chaisuwan, Ph.D.)

 Member

(Soamwadee Chaianansutcharit, Ph.D.)

 Member

(Associate Professor Wimonrat Trakarnpruk, Ph.D.)

 Member

(Assistant Professor Warinthorn Chavasiri, Ph.D.)

ปีบะสุดา สว่างคำ: การสังเคราะห์ตัวเร่งปฏิกิริยาเอ็มซีเอ็ม-41 ที่มีทังสเตนและแอกทิวิตี้
สำหรับเมตาทิชีสโอลีฟิน (SYNTHESIS OF TUNGSTEN-CONTAINING MCM-41
CATALYSTS AND THEIR ACTIVITY FOR OLEFIN METATHESIS) อาจารย์ที่ปรึกษา:
อาจารย์ ดร. อธิชา ฉายสุวรรณ, 109 หน้า, ISBN 974-17-1910-8

ได้ศึกษาวิธีสังเคราะห์ตัวเร่งปฏิกิริยาเอ็มซีเอ็ม-41 ที่มีทังสเตโนบู่ด้วยสองวิธีคือ การสังเคราะห์โดยตรงและอิมเพรกเนชัน การสังเคราะห์โดยตรงทดลองทั้งในภาวะที่เป็นกรดและภาวะที่เป็นเบส เพื่อให้ได้ผลิตภัณฑ์ที่มีคุณภาพดีซึ่งมีปริมาณทังสเตนมากที่สุด ได้สังเคราะห์ทังสเตน-เอ็มซีเอ็ม-41 โดยตรงด้วยการตกผลึกแบบไฮโดรเทอร์มอลจากของผสมของสารตั้งต้นที่มีทังสเตนด้วย เพื่อหาวิธีสังเคราะห์ที่เหมาะสมจึงได้แบ่งคร่าตัวแปร เช่น ความเป็นกรดของเจล ชนิดของสารต้านแบบ (เซทิลพิริดินียม บอร์ไนด์และเซทิลไทรเมทิลแอมโมเนียม บอร์ไนด์) ชนิดของสารตั้งต้นที่เป็นทังสเตน (แอมโมเนียมทังสเตตและโซเดียมทังสเตต) และอัตราส่วนในเจลของชิลิกอนต่อทังสเตน (4-120) ผลิตภัณฑ์ที่สังเคราะห์ได้ถูกตรวจสอบด้วยเทคนิคการเลี้ยงบนของรังสีเอกซ์ การดูดซับในโทรศัพท์ การคายรังสีโดยใช้พลาสมานาหนี่ยวน้ำ พูเรียร์แทรนซ์ฟอร์มอินฟราเรดการกระเจิงแบบรามาน และการสะท้อนรังสียูวี-วิชีเบลแบบแพร์กระจาย ของแข็งสีขาวที่มีโครงสร้างเป็นระเบียบสูงสุดของเอ็มซีเอ็ม-41 ได้จากการตกผลึกจากเจลในภาวะที่เป็นเบสที่อุณหภูมิ 100 องศาเซลเซียสเป็นเวลา 4 วัน พร้อมกับการปรับพิเชอทุกวัน ได้ศึกษาผลของอุณหภูมิต่อความว่องไวในการเร่งปฏิกิริยาของทังสเตนเอ็มซีเอ็ม-41 โดยใช้แก๊สตั้งต้นที่มี 1-ເສກຊືນ 30.5 ເປ່ອຣ໌ເຊັ້ນຕໍ່ໃນແກ້ໄສໃນโทรศัพท์ เพื่อที่จะเตรียมตัวเร่งปฏิกิริยาทังสติกออกไซດ์/เอ็มซีเอ็ม-41 ได้ใส่สารละลายที่มีโซเดียมทังสเตตในปริมาณที่ต้องการลงบนเอ็มซีเอ็ม-41 โดยวิธีการทำให้เปียกพอดี ได้เบรเยນเทียนความว่องไวของตัวเร่งปฏิกิริยาเอ็มซีเอ็ม-41 และทังสติกออกไซດ์/เอ็มซีเอ็ม-41 ที่มีอัตราส่วนของชิลิกอนต่อทังสเตนเท่ากันในการเร่งปฏิกิริยาเมตาทิชีสของ 1-ເສກຊືນที่ภาวะเดียวกัน ส่วนใหญ่ได้ผลิตภัณฑ์เป็นแก๊สจากเมตาทิชีสของ 1-ເສກຊືນพร้อมด้วยค่าการเปลี่ยน 1-ເສກຊືນมากกว่า 90 ເປ່ອຣ໌ເຊັ້ນຕໍ່ນั้นตัวเร่งปฏิกิริยาทังสเตน-เอ็มซีเอ็ม-41 ในขณะที่ตัวเร่งปฏิกิริยาทังสติกออกไซດ์/เอ็มซีเอ็ม-41 ให้ค่าการเปลี่ยน 1 ເສກຊືນตໍ່มาก (13-61 ເປ່ອຣ໌ເຊັ້ນຕໍ່) ที่ภาวะเดียวกัน ความเสือกจำเพาะต่อผลิตภัณฑ์ที่เป็นโพธิลีนไม่ขึ้นกับตัวแปรใด ๆ การเกิดบวทินเกิดได้ดีที่อุณหภูมิ 300 องศาเซลเซียส ในขณะที่การเปลี่ยนบวทินต่อไปเป็นอิทธิพลจะเกิดได้ดีที่อุณหภูมิสูงขึ้น เกิดมีเทนในปริมาณมากสำหรับทุกร่มี่ โดยเฉพาะที่อุณหภูมิสูง ทังสเตน-เอ็มซีเอ็ม-41 ที่สังเคราะห์โดยตรงมีความเสือกจำเพาะสูงต่อการเกิดอิทธิพลสูงกว่าทังสติกออกไซດ์/เอ็มซีเอ็ม-41 ที่ได้จากการอิมเพรกเนชันมาก การกระจายตัวอย่างดีของทังสเตนบนผิวตัวเร่งปฏิกิริยาทำให้ทังสเตน-เอ็มซีเอ็ม-41 มีความว่องไวสูงต่อการเร่งปฏิกิริยา

หลักสูตรบัณฑิตศึกษา
สาขาวิชาบัณฑิตศึกษา
ปีการศึกษา 2545

ลายมือชื่อนิสิต.....
ลายมือชื่ออาจารย์ที่ปรึกษา.....

๑๘๖ ๒๕๖๗

4272342823 : MAJOR PETROCHEMISTRY AND POLYMER SCIENCE

KEY WORD: TUNGSTOSILICATE / TUNGSTEN-CONTAINING MCM-41

CATALYST /OLEFIN METATHESIS

PIYASUDA SAWANGKAM : SYNTHESIS OF TUNGSTEN-CONTAINING
MCM-41 CATALYSTS AND THEIR ACTIVITY FOR OLEFIN METATHESIS.

THESIS ADVISOR: ATICHA CHAISUWAN, Ph.D. 109 pp., ISBN 974-17-1910-8

Two methods for synthesis of tungsten-containing MCM-41 catalysts were studied: direct synthesis and impregnation. The methods of direct synthesis were attempted in both acidic and basic conditions to obtain the good-quality product of W-MCM-41 with maximum tungsten content. W-MCM-41 was directly synthesized by hydrothermal crystallization from a mixture of starting substance including tungsten. To define an appropriate synthesis method several parameters were varied such as acidity of the gel, types of templates (cetylpyridinium bromide or cetyltrimethylammonium bromide), type of tungsten source (ammonium tungstate or sodium tungstate), and silicon to tungsten ratios in gel (4-120). The products synthesized were characterized using X-ray diffraction, nitrogen adsorption, inductively coupled plasma-emission, Fourier transform infrared, Raman scattering, and diffuse reflectance UV-Visible techniques. White solids with the highly ordered structure of MCM-41 were achieved from crystallization from the gel in basic condition at the temperature of 100°C for 4 days with pH adjustment daily. Effect of temperatures on catalytic activity of W-MCM-41 was studied using a feed of 30.5% 1-hexene vapor in nitrogen gas. To prepare $\text{WO}_3/\text{MCM}-41$ catalysts, a solution of required amount of sodium tungstate was impregnated on MCM-41 using the incipient wetness method. The activities of W-MCM-41 and $\text{WO}_3/\text{MCM}-41$ catalysts with the same Si/W ratios in 1-hexene metathesis were compared at the same conditions. The gas products are mainly obtained from metathesis of 1-hexene with more than 90% conversions of 1-hexene over W-MCM-41 while $\text{WO}_3/\text{MCM}-41$ provides very low conversions of 1-hexene (13-61%) at the same conditions. Product selectivity to propylene is independent from any parameter. Formation of butenes is favored at the temperature of 300°C while further conversion of butenes to ethylene takes place effectively at higher temperatures. Methane is formed in a significant amount for all cases especially at high temperatures. The directly synthesized W-MCM-41 gives much higher selectivity to ethylene than $\text{WO}_3/\text{MCM}-41$ from impregnation. Highly dispersion of tungsten on the catalyst surface is accounted for the high catalytic activity of W-MCM-41.

Program Petrochemistry and Polymer science Student's signature Piyasuda Sawangkam

Field of study Petrochemistry and Polymer science Advisor's signature A. Chaisuwan

Academic year 2002

ACKNOWLEDGEMENTS

The author would like to affectionately give all gratitude to my parents for their understanding and support throughout my entire study.

She also would like to express her sincere gratitude to her advisor, Dr. Aticha Chaisuwan, for her advice, concern and encouragement during the whole research. She is grateful to Dr. Soamwadee Chaianansutcharit for her valuable advice and helpful throughout this study. In addition, she is also grateful to Associate Professor Dr. Supawan Tantayanon, Associate Professor Dr. Wimonrat Trakarnpruk and Assistant Professor Dr. Warinthorn Chavasiri for serving as chairman and members of the thesis committee, respectively, whose comments have been especially helpful. She gratefully thanks to Dr. Duangamol Nuntasri and Professor T. Tatsumi, Yokohama National University for a great support for instrumental analysis.

Furthermore, she would like to thank Ministry of University Affairs and the Graduated School, Chulalongkorn University for the research grants. She appreciates Department of Chemistry, Faculty of Science, Chulalongkorn University for providing the laboratory and equipment.

Finally, it is her great pleasure to thank her friends in laboratory for their assistance and friendship.

จุฬาลงกรณ์มหาวิทยาลัย

CONTENTS

	Page
Abstract in Thai.....	iv
Abstract in English.....	v
Acknowledgement.....	vi
Contents.....	vii
List of Figures.....	xi
List of Schemes.....	xiv
List of Tables.....	xv
List of Abbreviations.....	xvii

Chapter

I. Introduction

1.1 Statement of Problem.....	1
1.1.1 Development of Metathesis Process for Industrial Applications	2
1.1.2 Metathesis in Fine Chemistry.....	4
1.2 Objectives.....	8
1.3 Literature Reviews.....	8

II Theory

2.1 Molecular Sieves.....	15
2.1.1 Zeolites.....	16
2.1.2 Mesoporous Materials.....	18
2.1.2.1 MCM-41.....	20
2.2 Mechanism for Formation of MCM-41 Structure	24
2.2.1 Liquid Crystal Templating Mechanism.....	24

CONTENTS (continued)

	Page
2.2.2 Silicate-Encapsulated Rods.....	25
2.2.3 Silicate Layer Puckering.....	26
2.2.4 Charge Density Matching.....	27
2.2.5 Silicatropic Liquid Crystals.....	27
2.2.6 Silicate Rod Clusters.....	29
2.2.7 Generalized Liquid Crystal Templating Mechanism Electrostatic Interaction.....	29
2.3 Effect of Parameters on the MCM-41 Synthesis	34
2.3.1 Surfactant	34
2.3.2 pH	35
2.4 W-MCM-41.....	37
2.5 Impregnation	38
2.6 Olefin Metathesis.....	39
2.6.1 Definition of Olefin Metathesis.....	39
2.6.2 Olefin Metathesis Mechanism	42
2.6.3 Olefin Metathesis Catalysts.....	45
2.6.3.1 Homogeneous Catalysts.....	46
2.6.3.2 Heterogeneous Catalysts	47
III Experimental	
3.1 Instruments and Apparatus	49
3.2 Chemicals and Gases	53
3.3 Direct Synthesis of W-MCM-41.....	53

CONTENTS (continued)

	Page
3.3.1 Synthesis of W-MCM-41 with the Si/W Ratio in Gel of 100 in Acidic Condition.....	53
3.3.2 Synthesis of W-MCM-41 with the Si/W Ratio in Gel of 100 in Basic Condition.....	55
3.3.3 Synthesis of W-MCM-41 Using Sodium Tungstate as a Tungsten Source.....	56
3.3.4 Synthesis of W-MCM-41 with Various Si/W Ratios.....	56
3.4 Sample preparation for ICP.....	58
3.5 Impregnation of WO_3 on MCM-41.....	58
3.5.1 Preparation of MCM-41 as a Catalyst Support.....	58
3.5.2 Preparation of $\text{WO}_3/\text{MCM}-41$	58
3.6 Organic Template Removal!.....	59
3.7 Catalytic Activity Test of W-MCM-41 and $\text{WO}_3/\text{MCM}-41$ Catalysts for Metathesis of 1-hexene.....	61
3.7.1 Effect of Temperature on Catalytic Activity of W-MCM-41.....	61
3.7.2 Effect of Si/W Ratio on Catalytic Activity of W-MCM-41.....	62
3.7.3 Catalytic Activity of $\text{WO}_3/\text{MCM}-41$ for 1-Hexene Metathesis.....	62

IV Results and discussion

4.1 Investigation of the Synthesis Methods of W-MCM-41.....	63
4.1.1 Formation of W-MCM-41 in Acidic Condition.....	63
4.1.2 Formation of W-MCM-41 in an Basic Condition.....	63
4.1.3 Effect of Tungsten Source on Formation of W-MCM-41.....	66
4.1.4 Effect of the Si/W Ratio in Gel on Formation of W-MCM-41.....	67

CONTENTS (continued)

	Page
4.1.5 Effect of Template Removal.....	79
4.2 Characterization of WO ₃ /MCM-41.....	80
4.3 Catalytic Activities of W-MCM-41 and WO ₃ /MCM-41 Catalysts for Metathesis of 1-hexene.....	82
4.3.1 Effect of Temperature on Catalytic Activity on W-MCM-41.....	82
4.3.2 Catalytic Activity of W-MCM-41 with Various Si/W Ratios.....	84
4.3.3 Catalytic Activity of Impregnated WO ₃ /MCM-41.....	86
 V Conclusion	 89
References.....	91
Appendices.....	99
Vitae.....	109

LIST OF FIGURES

Figure	Page
1.1. Ethylene capacity and demand forecast in 1995-2005.....	2
2.1 Classification of molecular sieve materials indicating the extensive variation in composition.	15
2.2 A primary building unit of zeolites.....	17
2.3 Diagram depicting three types of selectivity: reactant, product and transition-state shape selectivity.	18
2.4 Illustration of mesoporous M41S materials.....	19
2.5 Hexagonal packing of unidimensional cylindrical pores.....	20
2.6 Diffraction of X-ray by a crystal.....	21
2.7 Transmission electron micrograph of MCM-41.....	22
2.8 Scanning electron micrograph of a MCM-41 sample.....	22
2.9 Adsorption isotherm of nitrogen on MCM-41 with 4.0 nm pores at -196°C.....	23
2.10. Two possible pathways for the LCT mechanism.....	24
2.11 Assembly of silicate-encapsulated rods produced by Davis <i>et al.</i>	26
2.12. Puckering of silicate layers in the direction shown.	26
2.13. Curvature induced by charge density matching. The arrow indicates the reaction coordinate.	27
2.14. Formation of a silicatropic liquid crystal phase.	28
2.15 Schematic representation of various types of inorganic surfactant head group interactions.....	31
2.16 Cooperative templating of the generalized LCT mechanism: a) cooperative nucleation; b), c) liquid crystal formation with molecular inorganic compound d) inorganic polymerization and condensation.	32

LIST OF FIGURES (continued)

Figure	Page
2.17 The comparison of the formation processes of the mesoporous materials in basic and acidic conditions	33
2.18 XRD patterns of MCM-41 synthesized (a) at room temperature for 5 h, and at 373 K	36
3.1 The apparatus for metathesis reaction.....	52
3.2 The apparatus of gel preparation.....	54
4.1 XRD patterns of as-synthesized W-MCM-41 with the Si/W ratio in gel of 100.....	65
4.2 XRD patterns of as-synthesized W-MCM-41 using ammonium tungstate (a), and sodium tungstate (b), as the tungsten source.	67
4.3 X-ray diffraction patterns of as-synthesized W-MCM-41 catalysts with various Si/W ratios in gel of (a) 50, (b) 8 and (c) 4.....	69
4.4 N ₂ adsorption-desorption isotherm of W-MCM-41 with various Si/W ratios in gel of (a) 50, (b) 8 and (c) 4.....	71
4.5 Pore-size distribution of W-MCM-41 with the Si/W ratio in gel of 50.....	71
4.6 FT-IR spectra of W-MCM-41 with various Si/W ratios in gel of (a) 50, (b) 8 and (c) 4	74
4.7 Laser Raman spectra of samples (a) WO ₃ , (b) Si-MCM-41 and (c) W-MCM-41 with the Si/W ratio in gel of 50	76
4.8 Laser Raman spectrum of W-MCM-41 with the Si/W ratio in gel of 4.....	77
4.9 DR-UV-Vis spectra of calcined W-MCM-41 with various Si/W ratios in gel of (a) 60; (b) 80 and (c) 100 (d) Na ₂ WO ₄ (e) (NH ₄) ₆ H ₂ W ₁₂ O ₄₀ (f) WO ₃	78
4.10 Model of the joining of the tetrahedral monomeric W species in MCM-41 framework structure.....	79

LIST OF FIGURES (continued)

Figure	Page
4.11 XRD patterns of MCM-41 with the Si/W ratio in gel of 100, (a) before and (b) after calcination at 540°C for 6 hours.....	80
4.12 XRD patterns of (a) WO ₃ /MCM-41 with the Si/W ratio in product of 84 and (b) pure silica MCM-41 before impregnation.....	81
4.13 Product distribution in 1-hexene metathesis over W-MCM-41 (Si/W = 84) at various temperatures.....	84
4.14 Product distribution in 1-hexene metathesis over W-MCM-41 with various Si/W ratios at 500°C.....	86
4.15 Product distribution in 1-hexene metathesis over impregnated WO ₃ /MCM-41 with various Si/W ratios at 500°C.....	88

LIST OF SCHEMES

Scheme	Page
2.1 The Chavin mechanism for olefin metathesis.....	43
2.2 The illustration of the degenerative and productive metathesis of propylene by M=CD ₂	44
2.3 Metathesis reaction cycle.....	45
3.1 The GC heating program for gas analysis.....	51
3.2 The GC heating program for liquid analysis.....	51
3.3 Preparation diagram of the gel mixture with various Si/W ratios in the synthesis of W-MCM-41.....	57
3.4 The heating program for calcination of the W-MCM-41 catalysts	60
3.5 The heating program for calcination of the impregnated WO ₃ /MCM-41.....	60

คุณย์วิทยาลัย
จุฬาลงกรณ์มหาวิทยาลัย

LIST OF TABLES

Tables	Page
1.1. Properties of solid supports.....	7
2.1 Classification of porous materials	16
2.2. Effect of surfactant chain length on MCM-41 pore size, XRD d_{100} peak location, hexagonal unit cell parameter ($a = 2d_{100}/\sqrt{3}$).....	34
2.3 Mesophases of silicate molecular sieves and controlling synthesis parameters....	35
2.4 Examples of homogeneous catalysts for olefin metathesis at room temperature	47
2.5 Examples of heterogeneous catalyst systems for the metathesis of unsaturated esters.....	48
3.1 Amount of ammonium tungstate required for each preparation of W-MCM-41 with various Si/W ratios in gel	56
3.2 The amount of sodium tungstate impregnated on MCM-41.....	59
4.1 The values of Bragg's angle and the corresponding d-spacing of W-MCM-41 samples synthesized from the gel of various Si/W ratios.....	68
4.2 The values of BET specific surface area and pore diameter of W-MCM-41 samples synthesized from the gel of various Si/W ratios	72
4.3 Analysis data of W-MCM-41 samples synthesized from the gel of various Si/W ratios.	73
4.4 Nitrogen physisorption data of $\text{WO}_3/\text{MCM-41}$ samples.....	82
4.5 Catalytic activities of W-MCM-41 (Si/W = 84) in metathesis of 1-hexene at various temperatures, feed of 30.5% 1-hexene in nitrogen, the GHSV of 500 h^{-1} , time on stream of 30 min.....	83
4.6 Catalytic activities of W-MCM-41 with various Si/W ratios in metathesis of 1-hexene at the temperature of 500°C , feed of 30.5% 1-hexene in nitrogen, the GHSV of 500 h^{-1} , time on stream of 30 min.....	85

LIST OF TABLES (continued)

Tables	Page
4.7 Catalytic activities of impregnated WO ₃ /MCM-41 with various Si/W ratios in metathesis of 1-hexene at the temperature of 500°C, feed of 30.5% 1-hexene in nitrogen, the GHSV of 500 h ⁻¹ , time on stream of 30 min.....	88

LIST OF ABBRIVATIONS

CPBr	=	Cetylpyridinium bromide
CTABr	=	Cetyltrimethylammoniumbromide or hexadecyltrimethyl ammonium bromide
DR UV Vis	=	Diffuse reflectance ultraviolet visible
FTIR	=	Fourier transform infrared spectroscopy
GC	=	Gas Chromatography
GC-MS	=	Gas Chromatography -Mass Spectrometry
GHSV	=	Gas hourly space velocity
ICP	=	Inductively Coupled Plasma
ICP-AES	=	Inductively Coupled Plasma-Atomic Emission Spectrometer
TEOS	=	Tetraethyl orthosilicate
XRD	=	X-ray powder diffraction or diffractometer
H ₂ eg	=	Etane-1,2-diol
H ₂ pin	=	2,3-dimethylbutane-2,3-diol

ศูนย์วิทยทรัพยากร
จุฬาลงกรณ์มหาวิทยาลัย